

III-B183

シールドトンネル覆工の地震時挙動と耐震化(動的遠心実験)

大阪市立大学 富田純子・東田 淳 FP-L工法研究会 矢野博彦

まえがき 兵庫県南部地震における下水道用シールドトンネルの被災状況を再現し、従来の無筋コンクリート製二次覆工とFRPM管・エアーモルタル併用の二次覆工を施したシールドトンネル覆工(それぞれR・F覆工と呼ぶ)の地震時挙動と耐震性を比べるために、実物覆工の中線荷重載荷試験の結果に基づいて作製した覆工模型(別報1)参照)を用いて、地盤条件と埋設深さを変えた動的遠心実験を行った。

模型と実験方法 図-1に模型と実験装置を示す。模型は、原型の1/50の二次元模型で、外径D=4cmのR・F覆工模型(肉厚t=6mmと1.3mm、管長L=148mm)を土被り高H=2.5D~7.5D、基盤と覆工下端との距離H_b=0.25D~5Dになるように、表-1に示すまさ土(密・ゆる)とオタワ産乾燥珪砂で作った模型地盤中に埋めたものである。この模型をコロラド州立大学ボルダー校の遠心装置を用いて、遠心加速度50G場に置き、油圧サー式加振装置によって、図-2に示す水平加速度波(原型換算で、1Hz、max±0.8G)を与えた。覆工模型の曲げひずみ16点と地盤内の水平加速度6~9点を2500Hzのサンプリング間隔で1秒間、測定した。

実験は、表-2に示すように覆工模型・H・H_b・地盤条件(地盤材料と密度)を変えた3シリーズについて行った。全実験数は16である。

実験結果 図-3は、R覆工模型で測定された右肩45°の位置の曲げひずみε(内面が引張りを正とする)の経時変化の一例を示したものである。

図-4はR覆工模型に対する測定結果を示したもので、各図の左列のプロットが地盤内の水平加速度、右列が加振による曲げひずみ増分△εの分布を表す。これらはいずれも、覆工模型の右肩45°のεが3波目に+側と-側の極値となった時点(図-3に↑と↓で示す)のデータで、実線が+側、破線が-側の極値の時のものである。また、各図の左列に示した太線は水平加速度分布(細線)を積分して求めたせん断応力の分布を表わす。図-4から以下のことが分かる。(1)△εの分布から、当初鉛直・水平であった対称軸が、実線では反時計回りに、破線では時計回りに回転している。(2)その結果、△εの引張り側の最大値は、鉛直・水平軸から約±45°離れた位置で生じており、実際の被災状況と一致する。(3)実線で示した時点における地盤のせん断応力は、破線で示した時点よりも大きく、そのため△εの値も実線で示した時点の方が全体に大きくなつたと説明できる。以上の(1)~(3)はF覆工模型でも同様であったが、F覆工模型の△εの値は、R覆工模型よりも約10倍、大きかった。

考察 別報1)に示したように、模型の測定曲げひずみε_mと実物の内緑ひずみε_aの関係はR覆工でε_a=1.65ε_m、F覆工でε_a=0.39ε_mとな

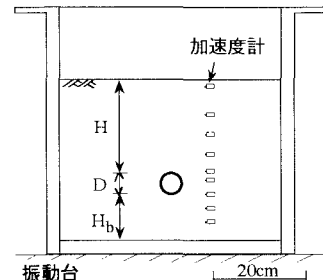


図-1 模型と実験装置

表-1 地盤材料の性質

Soil G _s	D _{max} mm	U _c	ρ _{dmax} g/cm ³	ρ _{dmin} g/cm ³	ρ _d g/cm ³	W %	C _d tf/m ²	φ _d °	
G _D	2.71	2.0	70	1.92	1.37	1.70	10	2.3	38
G _L	2.65	0.425	1.79	1.78	1.47	1.50	10	0.9	38
S						1.72	0	0	43

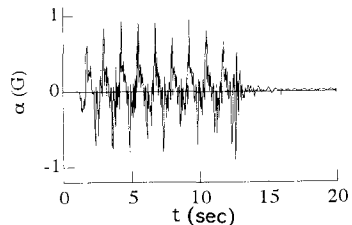
G_D:まさ土・密、G_L:まさ土・ゆる、S:オタワ砂(F-75)

図-2 入力水平加速度(原型換算)

表-2 実験条件

Series	Ground	H (cm)	H _b (cm)
H	G _D	10・20・30	10
H _b	G _D	20	1・10・20
Ground	G _D ・G _L ・S・G _D +G _L *	20	10
	*G _L +G _D :上層19cmがG _L 、下層15cmがG _D		

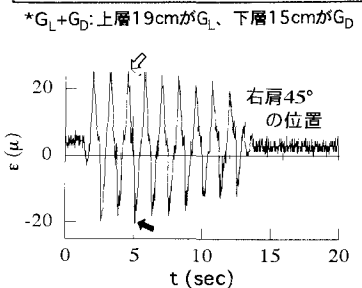


図-3 R覆工模型の測定曲げひずみの一例

シールドトンネル、覆工、地震時挙動、載荷実験、遠心実験

連絡先: 大阪市住吉区杉本3-3-138、大阪市立大学工学部、TEL&FAX 06-605-2725

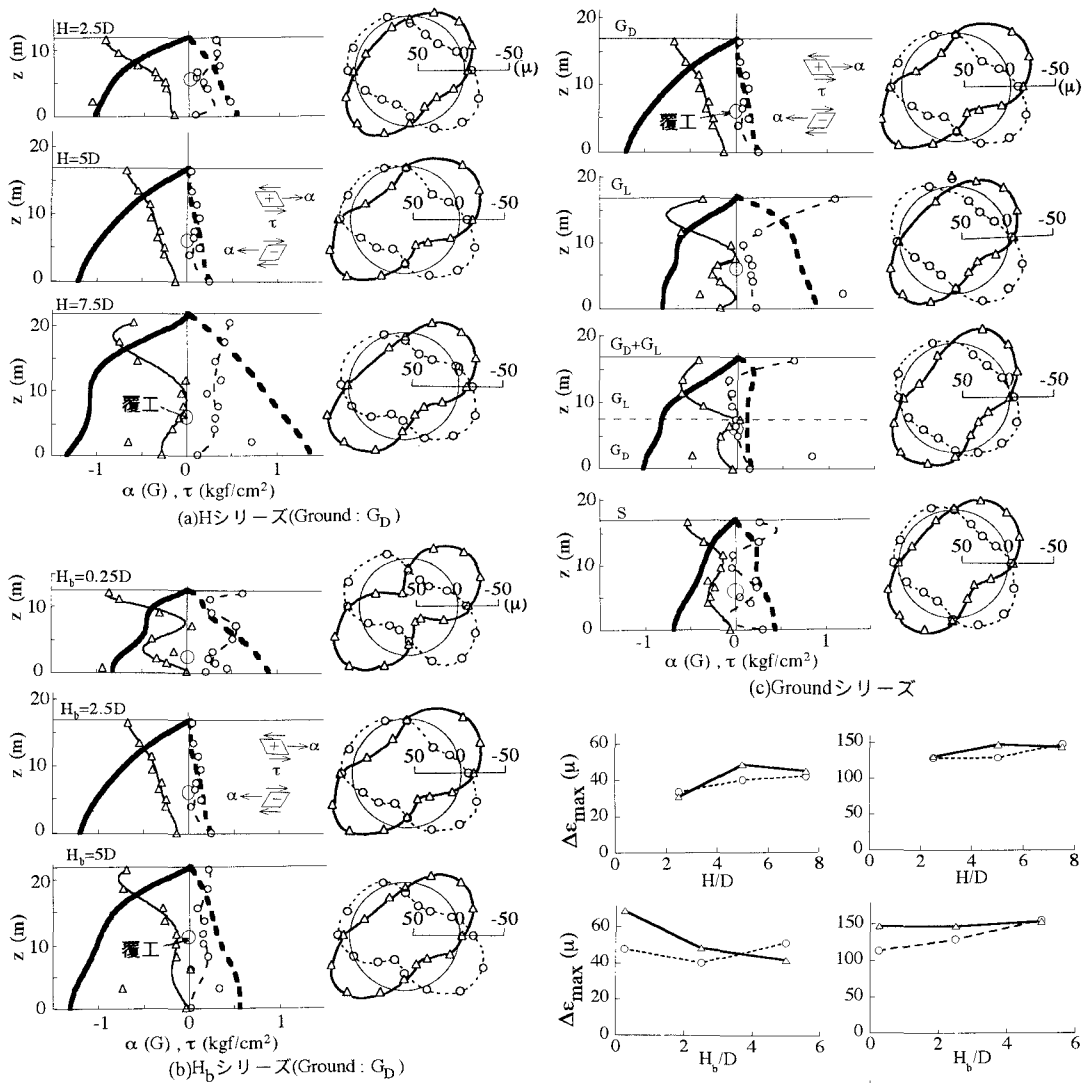


図-4 R覆工模型の測定結果

る。この関係を用いて、R・F両覆工模型で測定された $\Delta \varepsilon$ の引張り側最大値から、実物のR・F覆工に生じる最大内縁ひずみ $\Delta \varepsilon_{max}$ を算定し、各要因に対してプロットしたものが図-5である。プロットを結んだ実線と破線は図-4で述べた時点と対応している。この図から以下のことが分かる。(1)R覆工の $\Delta \varepsilon_{max}$ 値は20 μ~70 μの間にあり、平均50 μ程度である。実際の二次覆工コンクリートの破壊ひずみを80~100 μとすると、 $\Delta \varepsilon_{max}$ の最大値70 μはこれにかなり近い。(2) H_b シリーズを除き、Hと地盤条件を変えた時のR・F両覆工の $\Delta \varepsilon_{max}$ の変化傾向は良く似ている。(3)FRPM管の引張り破壊ひずみは2%程度なので、図-5に示したF覆工の $\Delta \varepsilon_{max}$ に対する安全率は130以上となる。よってF覆工は、無筋コンクリート製二次覆工を施したR覆工に比べ、格段に耐震性に優る。

参考文献: 1) 東田他、シールドトンネル覆工の地震時挙動と耐震化(実物覆工の載荷試験)、第53回土木学会年講

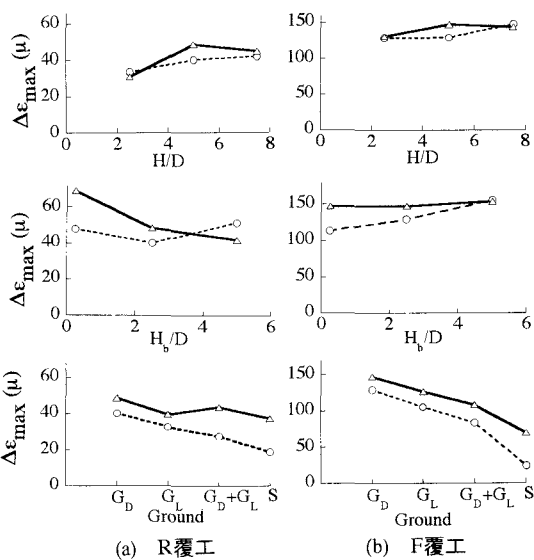


図-5 実物覆工に生じる最大内縁ひずみ